

文章编号:1000-0887(2012)03-0280-12

© 应用数学和力学编委会,ISSN 1000-0887

二阶流体在旋转坐标系中的 三维管道流动^{*}

S·侯斯纳因¹, A·梅姆德², A·阿里¹

(1. 古艾德-阿赞姆大学 数学系, 伊斯兰堡, 巴基斯坦;
2. 国际伊斯兰大学 数学系, 伊斯兰堡, 巴基斯坦)

摘要: 就两个水平板构成的旋转系统, 在磁场作用下分析二阶磁流体在其间的流动。下表面是一块可伸展的平面, 上面是一块多孔的固体平板。选用合适的变换, 将质量和动量的守恒方程, 简化为耦合的非线性常微分方程组。应用最强大的分析技术, 即同伦分析法(HAM), 得到该非线性耦合方程组的级数解。结果用图形给出, 并详细地讨论了无量纲参数 Re , λ , Ha^2 , α 和 K^2 对速度场的影响。

关 键 词: 三维流动; 二阶流体; MHD; 可伸展平面; 管道流动; 旋转坐标系

中图分类号: O357.1; O361.3 **文献标志码:** A

DOI: 10.3879/j.issn.1000-0887.2012.03.002

引 言

在过去的几十年里, 越过伸展平面时的层流边界层研究受到了广泛关注。这是因为在冶金和聚合物工业中, 它们有着重要的技术应用。例如, 很多涉及聚合物的施工工艺中, 包括连续的聚合条, 在模具中挤压时的冷却, 然后从模具中提取, 冷却和提取的聚合条随后被拉伸到所需的厚度。成品的质量很大程度上取决于伸展率和冷却率。伸展平面上的流动, 还可以在金属材料的连铸、玻璃的吹制, 以及合成纤维的纺纱等方面找到应用。针对这些应用, Crane^[1]最先开始研究伸展平面上的边界层流动。他们假设平面上的速度随到裂缝间的距离呈线性变化。很多研究者假设各种不同的速度和热边界条件, 进一步拓展了 Crane^[1]的研究。例如, Gupta 等^[2]就伸展平面有吸入或吹喷出功能时, 对传热传质边界层的相似解进行了分析。Chen 等^[3]将 Gupta 等^[2]的研究推广到非等温情况。Grubka 等^[4]就表面温度按幂律变化时, 对相同问题的热传导进行了分析。Chiam^[5]研究了非等温伸展平面上热传递时的磁流体动力学。很多学者研究过伸展平面边界层流动中的热传递(如文献[6-15])。

在上述提及的研究中, 学者们仅考虑为 Newton 流体。在过去的几十年里, 随着科技的进步, 在非 Newton 流体的领域中, 很多学者尝试求解更为复杂的运动方程。很多材料, 如聚合物溶解或融化、钻井泥浆、水银珠、某些油类、润滑油和很多不同的乳剂, 都属非 Newton 流体类。非 Newton 流体的性质可以用很多模型来描述, 但不是所有的性质。然而, 这些模型或本构方

* 收稿日期: 2010-10-18; 修订日期: 2011-12-05

作者简介: Ahmer Mehmood(联系人. E-mail: ahmerqau@yahoo.co.uk).

本文原文为英文, 黄雅意译, 张禄坤校。

程,无法描述出非 Newton 流体的所有特性,如正应力的松弛、弹性效应和存储效应等。非 Newton 流体本构方程的描述,比 Newton 流体更加复杂且非线性程度更高。尽管非线性可能导致存在多个解,但是 Troy 等^[16]指出,伸展平面上二阶流体流动的控制方程有一个精确解。然而,随后的研究揭示,方程可以有多个解,见 Rao^[17] 和 Chang 等^[18] 的研究。此外,Pontrelli^[19] 研究了非 Newton 参数与解的相关性。

对不同类型流体提出的所有非 Newton 模型中,二阶流体是最简单的一个子类。二阶流体的这个有利条件,在许多涉及非 Newton 流体的研究中,都愿将非 Newton 流体看作二阶流体。在过去的几十年里,非 Newton 流体受到工程师和科学家的广泛关注,它们大量地应用于生物医学工程、石油工业、聚合物工艺、为液态金属设计冷却系统、泵,以及原油的净化等。鉴于所有这些应用,一些学者为二阶流体的边界层流动^[20-25],提出了不同的假设和几何结构。近年来,非 Newton 流体在旋转圆盘间的流动受到极大的关注,这类流动的几何构造有着多种技术应用,如润滑。导电流体的旋转流动,在宇宙和地球物理流体动力学中,在太阳物理学中,包括太阳黑子的活动、太阳周期和星体的旋转磁场结构等,都有着重要的应用。Huigol 和 Keller^[26] 研究粘弹性流体在旋转圆盘间的流动。Huigol 和 Rajagopal^[27] 研究粘弹性流体在旋转圆盘间的非轴对称流动,他们的研究表明与粘性流体类似,其解不是轴对称的,并可能出现 Oldroyd 流体的情况。文献的快速搜索显示,在一个下壁面为伸展平面的旋转坐标系中,非 Newton 流体管道流动的研究鲜有报道。Vajravelu^[28] 就粘性流体研究过同样的问题,作者给出了非线性控制系统的摄动解和数值解。文献搜索表明,三维旋转流动的报道更为少见。据我们所知,关于导电的二阶流体,在旋转坐标系中作三维管道流动的分析,至今尚未见诸报道。考虑到这种情况,本文在一个以两块水平板为边界的旋转坐标系中,下层板是可伸展平面时,研究二阶流体的轴对称磁流体的流动,研究其非线性耦合系统解析解的特性。使用最强大的技术,即同伦分析法,得到问题的解析解^[29]。同伦^[30] 是拓扑学的一个基本概念^[31]。很多研究者将该方法成功地应用于复杂的非线性问题^[32-42],证明了该方法的有效性。

本文安排如下:第 1 节,给出流动问题的数学公式;第 2 节,给出问题的解析解;第 3 节,将结果用图形表示并进行讨论;第 4 节,得出最终的结论。

1 流 动 分 析

考虑在两块水平平行板之间不可压缩导电的二阶流体,流体和平板同时以角速度 Ω 绕垂直于平板的轴旋转。以这样的一种方式建立坐标系:沿平板方向取 x 轴, y 轴与 x 轴垂直, z 轴与 xy 平面垂直,图 1 给出了问题的几何图形。沿 x 轴方向作用有两个大小相等、方向相反的力,使得平板可伸展,并保持在固定点 $(0, -h, 0)$ 位置。常磁场强度 $\mathbf{B} = (0, \mathbf{B}_0, 0)$ 沿 y 轴作用,使系统得以旋转。这里,因为磁 Reynolds 数取得非常小,所以感应磁场可以忽略不计^[43]。

合理的速度场形式为

$$\mathbf{V} = [u(x, y), v(x, y), w(x, y)], \quad (1)$$

其中, u, v, w 分别为 x, y 和 z 方向上的速度分量。

在一个旋转坐标系中,MHD 流动的运动方程为

$$\rho \left[\frac{d\mathbf{V}}{dt} + 2\Omega \mathbf{V} + \boldsymbol{\Omega} \times (\boldsymbol{\Omega} \times \mathbf{r}) \right] = \operatorname{div} \mathbf{T} + (\mathbf{I} \times \mathbf{B}), \quad (2)$$

这里, \mathbf{V} 为速度矢量, \mathbf{I} 为电流密度矢量, $\mathbf{B} = \mathbf{B}_0 + \mathbf{b}$ 为总的磁场强度, 其中 \mathbf{B}_0 为外加磁场强度, \mathbf{b} 为感应磁场强度, ρ 为流体密度, d/dt 为物质导数, \mathbf{T} 为 Cauchy 应力张量, \mathbf{r} 为位置矢量。粘弹

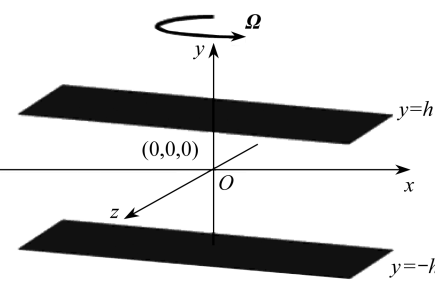


图 1 流动的几何结构图

Fig. 1 Flow configuration

性二阶流体的 Cauchy 应力张量如下给出:

$$\mathbf{T} = -p\mathbf{I} + \mu\mathbf{A}_1 + \alpha_1\mathbf{A}_2 + \alpha_2\mathbf{A}_1^2, \quad (3)$$

其中, p 为压力, 根据不可压缩性确定, μ 为粘度, α_1 和 α_2 为二阶流体的模数, \mathbf{A}_1 和 \mathbf{A}_2 为 Rivlin-Ericksen 张量^[44]的前面 2 个, 定义为

$$\mathbf{A}_1 = \mathbf{L} + \mathbf{L}^T, \quad (4)$$

$$\mathbf{A}_2 = \frac{d\mathbf{A}_1}{dt} + \mathbf{A}_1\mathbf{L} + \mathbf{L}^T\mathbf{A}_1, \quad (5)$$

$$\mathbf{L} = \nabla\mathbf{V}. \quad (6)$$

若二阶流体的所有运动满足 Clausius-Duhem 不等式,

同时假设当流体局部静止时, 流体的单位 Helmholtz 自由能达到最小, 则要求二阶流体的模数满足 $\mu \geq 0$, $\alpha_1 > 0$ 和 $\alpha_1 + \alpha_2 = 0$.

由方程(1)~(6)可导出连续性方程及动量方程:

连续性方程

$$\frac{\partial u}{\partial x} + \frac{\partial v}{\partial y} = 0, \quad (7)$$

x 方向的动量方程

$$\begin{aligned} u \frac{\partial u}{\partial x} + v \frac{\partial u}{\partial y} + 2\Omega w = \\ -\frac{1}{\rho} \frac{\partial p^*}{\partial x} + \nu \left[\frac{\partial^2 u}{\partial x^2} + \frac{\partial^2 u}{\partial y^2} \right] + \frac{\alpha_1}{\rho} \left[2 \frac{\partial u}{\partial x} \frac{\partial^2 u}{\partial x^2} + 2u \frac{\partial^3 u}{\partial x^3} + 2v \frac{\partial^3 u}{\partial x^2 \partial y} + \right. \\ 2 \frac{\partial w}{\partial x} \frac{\partial^2 w}{\partial x^2} + u \frac{\partial^3 u}{\partial y^2 \partial x} + v \frac{\partial^3 u}{\partial y^3} + \frac{\partial^2 w}{\partial x \partial y} \frac{\partial w}{\partial y} + \frac{\partial w}{\partial x} \frac{\partial^2 w}{\partial y^2} + \frac{\partial u}{\partial x} \frac{\partial^2 u}{\partial y^2} - \frac{\partial u}{\partial y} \frac{\partial^2 v}{\partial y^2} + \\ 2 \frac{\partial v}{\partial x} \frac{\partial^2 u}{\partial x \partial y} + 2 \frac{\partial v}{\partial x} \frac{\partial^2 v}{\partial x^2} + \frac{\partial u}{\partial y} \frac{\partial^2 v}{\partial x^2} + u \frac{\partial^3 v}{\partial y^2 \partial x} + \frac{\partial^2 v}{\partial x \partial y} \frac{\partial v}{\partial y} + \\ \left. \frac{\partial v}{\partial x} \frac{\partial^2 v}{\partial y^2} - \frac{\partial^2 u}{\partial x \partial y} \frac{\partial v}{\partial x} - \frac{\partial u}{\partial x} \frac{\partial^2 v}{\partial x \partial y} \right] - \frac{\sigma \beta_0^2 u}{\rho}, \end{aligned} \quad (8)$$

y 方向的动量方程

$$\begin{aligned} u \frac{\partial v}{\partial x} + v \frac{\partial v}{\partial y} = -\frac{1}{\rho} \frac{\partial p^*}{\partial y} + \nu \left[\frac{\partial^2 v}{\partial x^2} + \frac{\partial^2 v}{\partial y^2} \right] + \\ \frac{\alpha_1}{\rho} \left[2 \frac{\partial u}{\partial x} \frac{\partial^2 u}{\partial x \partial y} + u \frac{\partial^3 u}{\partial x^2 \partial y} + v \frac{\partial^3 v}{\partial y^2 \partial x} + \frac{\partial^2 w}{\partial x^2} \frac{\partial w}{\partial y} + \frac{\partial w}{\partial x} \frac{\partial^2 w}{\partial x y} + \right. \\ \frac{\partial^2 u}{\partial x^2} \frac{\partial u}{\partial y} - \frac{\partial v}{\partial y} \frac{\partial^2 u}{\partial x \partial y} + 2 \frac{\partial v}{\partial y} \frac{\partial^2 v}{\partial y^2} + 2v \frac{\partial^3 v}{\partial y^3} + 2 \frac{\partial^2 u}{\partial y^2} \frac{\partial u}{\partial y} + 2 \frac{\partial^2 w}{\partial y^2} \frac{\partial w}{\partial y} + \\ u \frac{\partial^3 v}{\partial x^3} + \frac{\partial v}{\partial x} \frac{\partial^2 u}{\partial y^2} + \frac{\partial v}{\partial x} \frac{\partial^2 v}{\partial x \partial y} + v \frac{\partial^3 v}{\partial x^2 \partial y} + \frac{\partial^2 v}{\partial x^2} \frac{\partial v}{\partial y} + \frac{\partial v}{\partial x} \frac{\partial^2 v}{\partial x \partial y} - \frac{\partial^2 u}{\partial x^2} \frac{\partial v}{\partial x} - \\ \left. \frac{\partial^2 v}{\partial x \partial y} \frac{\partial u}{\partial y} + 2 \frac{\partial u}{\partial y} \frac{\partial^2 v}{\partial x \partial y} - 2 \frac{\partial v}{\partial x} \frac{\partial^2 v}{\partial x \partial y} + 2u \frac{\partial^3 v}{\partial x \partial y^2} \right], \end{aligned} \quad (9)$$

z 方向的动量方程

$$u \frac{\partial w}{\partial x} + v \frac{\partial w}{\partial y} - 2\Omega u = \nu \left[\frac{\partial^2 w}{\partial x^2} + \frac{\partial^2 w}{\partial y^2} \right] +$$

$$\frac{\alpha_1}{\rho} \left[u \frac{\partial^3 w}{\partial x^3} - \frac{\partial^2 u}{\partial x^2} \frac{\partial w}{\partial x} + v \frac{\partial^3 w}{\partial x^2 \partial y} + u \frac{\partial^3 w}{\partial x \partial y^2} + v \frac{\partial^3 w}{\partial y^3} + \frac{\partial v}{\partial x} \frac{\partial^2 w}{\partial x \partial y} - \frac{\partial^2 w}{\partial x \partial y} \frac{\partial v}{\partial x} - \frac{\partial w}{\partial x} \frac{\partial^2 v}{\partial x \partial y} - \frac{\partial w}{\partial y} \frac{\partial^2 w}{\partial x \partial y} - \frac{\partial w}{\partial y} \frac{\partial^2 v}{\partial y^2} \right] - \frac{\sigma \beta_0^2 w}{\rho}. \quad (10)$$

方程(10)中不含 $\partial p^*/\partial z$, 蕴含着没有绕 z 轴的横向流动。

相应合理的边界条件为

$$u = Ex, v = 0, w = 0, \quad \text{当 } y = -h, \quad (11a)$$

$$u = 0, v = -V_0, w = 0, \quad \text{当 } y = h. \quad (11b)$$

引入以下的无量纲变量:

$$\eta = y/h', u = Exf'(\eta), v = -Ehf(\eta), w = Exg(\eta), \quad (12)$$

其中, E 是伸展常数, 量纲为(时间)⁻¹, 撇号表示对 η 的导数。

将方程(12)代入方程(8)~(10), 再消去修正的压力梯度, 得到以下耦合的非线性问题:

$$f''' - Ha^2 f'' - 2K^2 g - Re(f'f'' - ff''') + \alpha(4f''f''' - ff'''' + 3g'g'' + gg''' + f'f''') = 0, \quad (13)$$

$$g'' - Re(gf' - g'f) + 2K^2 f' - Ha^2 g + \alpha(f'g'' - fg''') = 0, \quad (14)$$

$$f = 0, f' = 1, g = 0, \quad \text{当 } \eta = -1, \quad (15a)$$

$$f = \lambda, f' = 0, g = 0, \quad \text{当 } \eta = 1, \quad (15b)$$

其中, $\lambda = V_0/(Eh)$ 为吸入 / 喷出参数, Re 为粘性参数, Ha 为 Hartman 数, α 为二阶参数, K 为旋转参数, 定义如下:

$$Re = \frac{Eh^2}{\nu}, Ha^2 = \frac{\sigma \beta_0^2 h}{\rho \nu}, K^2 = \frac{\Omega h^2}{\nu}, \alpha = \frac{\alpha_1 E}{\mu}.$$

2 同伦解析解

上面的边界条件表明, $f(\eta)$ 和 $g(\eta)$ 的解表达式可以由基函数

$$\{\eta^q \mid q \geq 0\} \quad (16)$$

以如下的形式表达:

$$f_m(\eta) = \sum_{n=0}^{2m+1} a_{n,m} \eta^n, \quad (17)$$

$$g_m(\eta) = \sum_{n=0}^{2m+1} b_{n,m} \eta^n, \quad (18)$$

当 $m > 1$ 时, 这里的 $a_{m,n}^n$ 和 $b_{m,n}^n$ 为常系数。以解表达式(17)和(18)为基础, 由边界条件(15a)和(15b), 可以直接取得 $f(\eta)$ 和 $g(\eta)$ 的初始近似值:

$$f_0(\eta) = \frac{1-\lambda}{4} \eta^3 - \frac{\eta^2}{4} + \left(\frac{3\lambda}{4} - \frac{1}{4} \right) + \frac{1}{2} \left(\lambda + \frac{1}{2} \right), \quad (19)$$

$$g_0(\eta) = 0, \quad (20)$$

以及形式如下的辅助线性算子:

$$\mathcal{L}_f = \frac{d^4 f}{d\eta^4}, \quad (21)$$

$$\mathcal{L}_g = \frac{d^2 f}{d\eta^2}, \quad (22)$$

并满足以下性质:

$$\mathcal{L}_f = [C_1\eta^3 + C_2\eta^2 + C_3\eta + C_4] = 0, \quad (23)$$

$$\mathcal{L}_g = [C_5\eta + C_6] = 0, \quad (24)$$

其中 $C_i (i = 1, \dots, 6)$ 为常数。基于方程(13) 和(14), 可以定义非线性算子 $\mathcal{N}_f[\hat{f}(\eta; p), \hat{g}(\eta; p)]$ 和 $\mathcal{N}_g[\hat{f}(\eta; p), \hat{g}(\eta; p)]$ 如下:

$$\begin{aligned} \mathcal{N}_f[\hat{f}(\eta; p), \hat{g}(\eta; p)] &= \frac{\partial^4 \hat{f}(\eta; p)}{\partial \eta^4} - Ha^2 \frac{\partial^2 \hat{f}(\eta; p)}{\partial \eta^2} - 2K^2 \hat{g}(\eta; p) - \\ &\quad Re \left(\frac{\partial \hat{f}(\eta; p)}{\partial \eta} \frac{\partial^2 \hat{f}(\eta; p)}{\partial \eta^2} - \hat{f}(\eta; p) \frac{\partial^3 \hat{f}(\eta; p)}{\partial \eta^3} \right) + \\ &\quad \alpha \left(4 \frac{\partial^2 \hat{f}(\eta; p)}{\partial \eta^2} \frac{\partial^3 \hat{f}(\eta; p)}{\partial \eta^3} - \hat{f}(\eta; p) \frac{\partial^5 \hat{f}(\eta; p)}{\partial \eta^5} + 3 \frac{\partial \hat{g}(\eta; p)}{\partial \eta} \frac{\partial^2 \hat{g}(\eta; p)}{\partial \eta^2} + \right. \\ &\quad \left. \hat{g}(\eta; p) \frac{\partial^3 \hat{g}(\eta; p)}{\partial \eta^3} + \frac{\partial \hat{f}(\eta; p)}{\partial \eta} \frac{\partial^4 \hat{f}(\eta; p)}{\partial \eta^4} \right), \end{aligned} \quad (25)$$

$$\begin{aligned} \mathcal{N}_g[\hat{f}(\eta; p), \hat{g}(\eta; p)] &= \frac{\partial^2 \hat{g}(\eta; p)}{\partial \eta^2} - \\ &\quad Re \left(\hat{g}(\eta; p) \frac{\partial \hat{f}(\eta; p)}{\partial \eta} - \frac{\partial \hat{g}(\eta; p)}{\partial \eta} \hat{f}(\eta; p) \right) + \\ &\quad 2K^2 \frac{\partial \hat{f}(\eta; p)}{\partial \eta} - Ha^2 \hat{g}(\eta; p) + \\ &\quad \alpha \left(\frac{\partial \hat{f}(\eta; p)}{\partial \eta} \frac{\partial^2 \hat{g}(\eta; p)}{\partial \eta^2} - \hat{f}(\eta; p) \frac{\partial^3 \hat{g}(\eta; p)}{\partial \eta^3} \right). \end{aligned} \quad (26)$$

设 \hbar_f 和 \hbar_g 为非零的辅助参数。构造零阶的变形方程:

$$(1-p)\mathcal{L}_f[\hat{f}(\eta; p) - f_0(\eta)] = p\hbar_f \mathcal{N}_f[\hat{f}(\eta; p), \hat{g}(\eta; p)], \quad (27)$$

$$(1-p)\mathcal{L}_g[\hat{g}(\eta; p) - g_0(\eta)] = p\hbar_g \mathcal{N}_g[\hat{f}(\eta; p), \hat{g}(\eta; p)], \quad (28)$$

并满足边界条件

$$\hat{f}'(-1; p) = 0, \quad \hat{f}'(1; p) = 1, \quad f(1; p) = \lambda, \quad \hat{f}'(1; p) = 0, \quad (29)$$

$$\hat{g}'(-1; p) = 0, \quad \hat{g}(1; p) = 0, \quad (30)$$

其中 $p \in [0, 1]$ 为嵌入参数。当 $p = 0$ 和 $p = 1$ 时, 可以由方程(27)和(28), 分别得到初始估计近似值和最终解:

$$\hat{f}(\eta; 0) = f_0(\eta), \quad \hat{g}(\eta; 0) = g_0(\eta), \quad (31)$$

$$\hat{f}(\eta; 1) = f(\eta), \quad \hat{g}(\eta; 1) = g(\eta). \quad (32)$$

于是, 随着 p 由 0 增加到 1, $\hat{f}(\eta)$ 和 $\hat{g}(\eta)$ 分别从所考虑问题的初始估计 $f_0(\eta)$ 和 $g_0(\eta)$, 变到最终解 $f(\eta)$ 和 $g(\eta)$ 。将 $\hat{f}(\eta; p)$ 和 $\hat{g}(\eta; p)$ 按嵌入参数 p 进行 Taylor 级数展开, 即

$$f(\eta) = f_0(\eta) + \sum_{m=1}^{\infty} f_m(\eta), \quad (33)$$

$$g(\eta) = g_0(\eta) + \sum_{m=1}^{\infty} g_m(\eta), \quad (34)$$

其中

$$f_m(\eta) = \frac{1}{m!} \left. \frac{\partial^m f(\eta; p)}{\partial p^m} \right|_{p=0}, \quad (35)$$

$$g_m(\eta) = \frac{1}{m!} \left. \frac{\partial^m g(\eta; p)}{\partial p^m} \right|_{p=0}. \quad (36)$$

在 $p = 0$ 处, 将零阶变形方程(27)和(28)对 p 求导 m 次, 并除以 $m!$, 得到 m 阶变形方程

$$\mathcal{L}_f[f_m(\eta) - \chi_m f_{m-1}(\eta)] = \hbar_f R_{fm}(\eta), \quad (37)$$

$$\mathcal{L}_g[g_m(\eta) - \chi_m g_{m-1}(\eta)] = \hbar_g R_{gm}(\eta), \quad (38)$$

相应的边界条件为

$$f_m(-1) = f_m(1) = f'_m(-1) = f'_m(1) = 0, \quad (39)$$

$$g_m(-1) = g_m(1) = 0, \quad (40)$$

其中

$$R_{fm}(\eta) = f'''_{m-1} - Ha^2 f''_{m-1} - 2K^2 g_{m-1} - Re \sum_{k=0}^{m-1} (f'_{m-1-k} f''_k - f_{m-1-k} f'''_k) + \alpha \sum_{k=0}^{m-1} (4f''_{m-1-k} f'''_k - f_{m-1-k} f'''_k + 3g'_{m-1-k} g''_k + g_{m-1-k} g'''_k + f'_{m-1-k} f'''_k), \quad (41)$$

$$R_{gm}(\eta) = g''_{m-1} + 2K^2 f'_{m-1} - Ha^2 g_{m-1} - Re \sum_{k=0}^{m-1} (g_{m-1-k} f'_k - g'_{m-1-k} f_k) + \alpha \sum_{k=0}^{m-1} (f'_{m-1-k} g''_k - f_{m-1-k} g'''_k), \quad (42)$$

$$\chi_m = \begin{cases} 0, & m = 1, \\ 1, & m > 1. \end{cases} \quad (43)$$

利用 Mathematica 计算软件, 求解上述方程组.

HAM 解的精度和收敛性

级数解(33)和(34)包含了辅助参数 \hbar_f 和 \hbar_g , 可以画出所谓 \hbar 曲线来选取合适的数值, 确保级数(33)和(34)的收敛性. 有一点必须指出, 正如 Liao 在文献[29]所提到的, HAM 解的收敛性高度依赖于辅助参数. 合理的辅助参数值可以画出所谓的 \hbar 曲线来确定. 分析表明, 随着二阶参数 α 值的增加, \hbar_f 和 \hbar_g 容许值的范围朝 0 变化(参见图 2 和图 3). 因而, 当 $\alpha = 0.5$ 时, \hbar_f 和 \hbar_g 容许值的范围分别为 $[-0.7, -0.1]$ 和 $[-1.4, -0.3]$. 画出剩余误差随辅助参数的变化(参见图 4 和图 5), 以及 HAM 解的不同阶近似解(参见表 1), 可以证明级数解的收敛性. 由图 4 和图 5 可以清楚地看出, 当 $\hbar_f = -0.7$ 和 $\hbar_g = -1.33$ 时, 误差可以忽略不计. 进一步由表 1 可

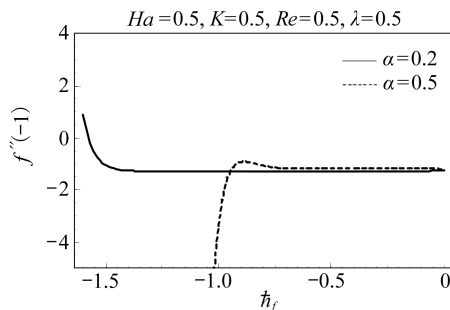


图 2 第 20 阶近似时的 \hbar_f -曲线

Fig. 2 \hbar_f -curve for 20th order of approximation

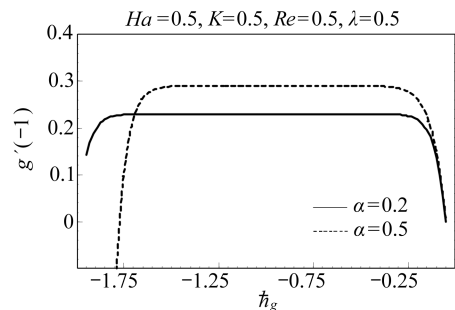


图 3 第 20 阶近似时的 \hbar_g -曲线

Fig. 3 \hbar_g -curve for 20th order of approximation

以看出,取第 20 阶近似之后,小数点后面 4 位已不再发生变化,证明了本文 HAM 解的收敛性。

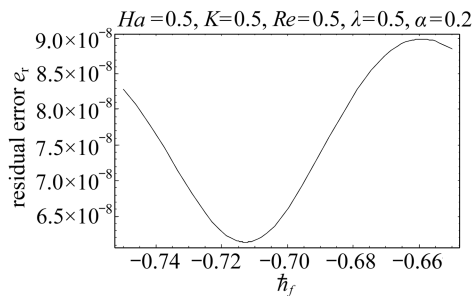


图 4 剩余误差随 \hbar_f 的变化

Fig. 4 Residual error plotted against \hbar_f

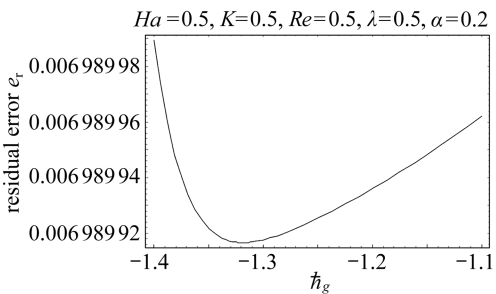


图 5 剩余误差随 \hbar_g 的变化

Fig. 5 Residual error plotted against \hbar_g

表 1 当 $\alpha = 0.2$, $K = 0.5$, $Ha = 0.5$, $Re = 0.5$, $\lambda = 0.5$, $\hbar_f = -0.715$,
 $\hbar_g = -1.33$ 时, HAM 解的不同阶次近似值

Table 1 Convergence of HAM solution at different orders of approximation when $\alpha = 0.2$,

$K = 0.5$, $Ha = 0.5$, $Re = 0.5$, $\lambda = 0.5$, $\hbar_f = -0.715$, $\hbar_g = -1.33$

order of approximation	$f''(-1)$	$g'(-1)$
1	-1.257 2	0.270 8
5	-1.274 8	0.230 3
10	-1.274 7	0.230 3
20	-1.274 7	0.230 3
25	-1.274 7	0.230 3
30	-1.274 7	0.230 3
35	-1.274 7	0.230 3
40	-1.274 7	0.230 3

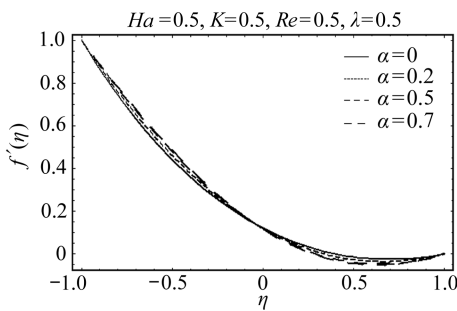


图 6 二阶参数 α 取不同值时的速度分量 $f'(\eta)$

Fig. 6 Velocity component $f'(\eta)$ for different values of second grade parameter α

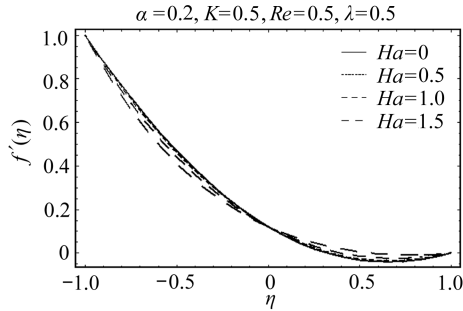


图 7 磁场参数 Ha 取不同值时的速度分量 $f'(\eta)$

Fig. 7 Velocity component $f'(\eta)$ for different values of magnetic parameter Ha

3 结果和讨论

为了理解本文所讨论流动的物理意义,观察参数对重要物理量的影响是必要的。图 6~18 中描绘出这些参数取不同值时的速度分布曲线,在这点上给出了一个定性的分析。图 6 给出了

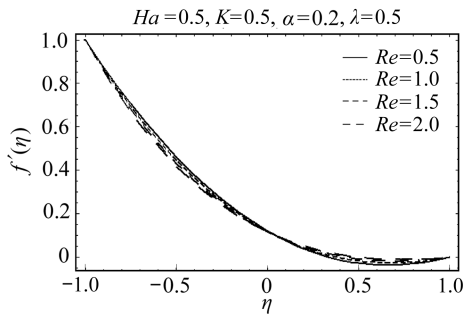


图 8 Reynolds 数 Re 对速度分量 $f'(\eta)$ 的影响

Fig. 8 Effects of Reynolds number Re on velocity component $f'(\eta)$

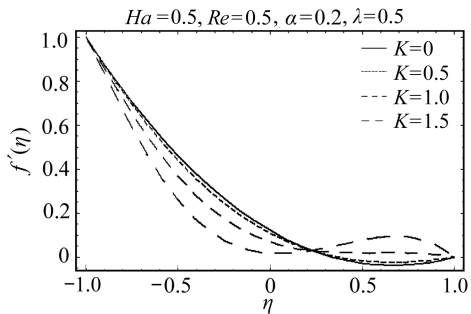


图 9 旋转参数 K 取不同值时速度分量 $f'(\eta)$ 的变化

Fig. 9 Variation of velocity component $f'(\eta)$ for different values of rotation parameter K

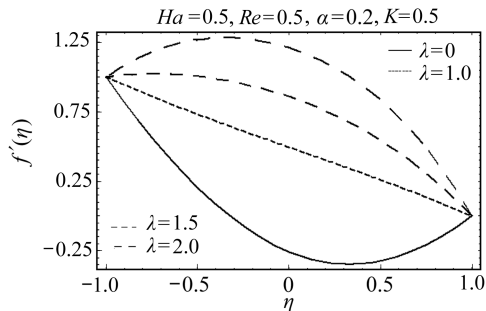


图 10 上壁面喷出参数 λ 对 $f'(\eta)$ 的影响
Fig. 10 Effect of upper wall injection on $f'(\eta)$

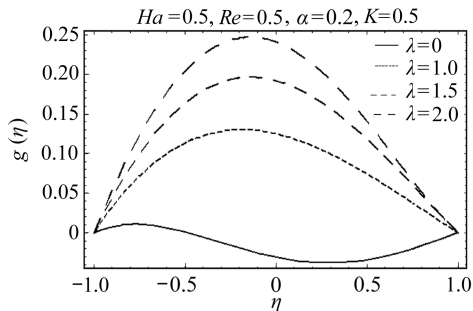


图 11 上壁面喷出参数 λ 对 $g(\eta)$ 的影响
Fig. 11 Effect of upper wall injection on $g(\eta)$

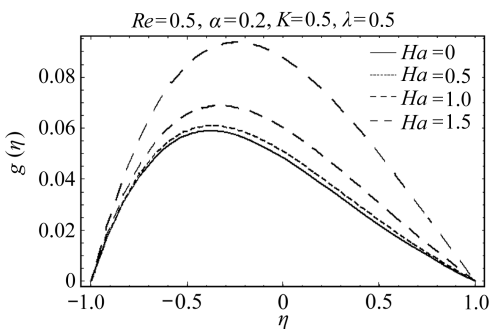


图 12 磁场参数 Ha 对速度分量 $g(\eta)$ 的影响

Fig. 12 Effect of magnetic parameter Ha on velocity component $g(\eta)$

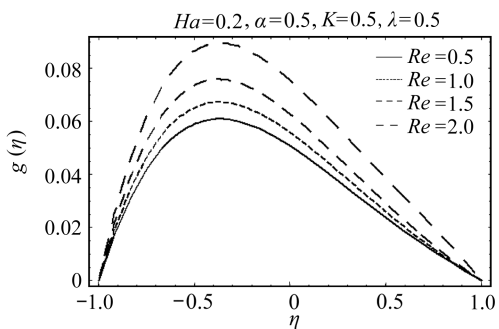


图 13 Reynolds 数 Re 增加时速度分量 $g(\eta)$ 的变化

Fig. 13 Variation of velocity $g(\eta)$ with an increase in Reynolds number Re

二阶参数 α 对速度分布曲线的影响。随着 α 值的增加,伸展平板附近的速度在增加,管道上半部的速度在减小。如果观察外加磁场参数 Ha 或 Reynolds 数 Re 对速度的变化,发现它们的影响始终是相反的(见图 7 和图 8)。图 9 给出了旋转参数 K 对速度分布曲线的影响。可以清楚地看到,随着 K 值的增加,伸展平板附近速度在减小,上壁面附近速度在增加。过了管道中心点出现这种交替变化的情况,在图 6~8 中,交替变化几乎都出现在管道中心。可以观察到穿越点的

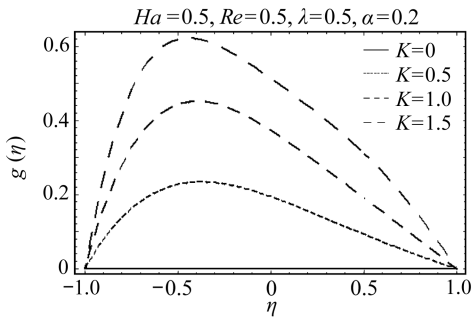


图 14 旋转参数 K 对速度分量 $g(\eta)$ 的影响

Fig. 14 Rotation effects on velocity $g(\eta)$

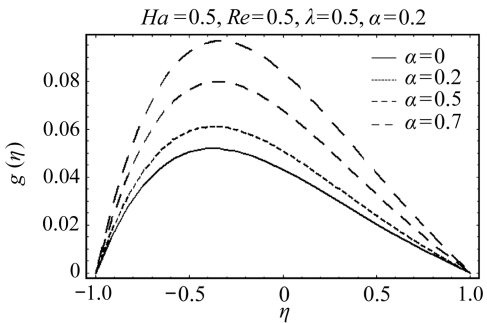


图 15 参数 α 的非 Newton 性对速度分量 $g(\eta)$ 的影响

Fig. 15 Non-Newtonian effects on velocity component $g(\eta)$

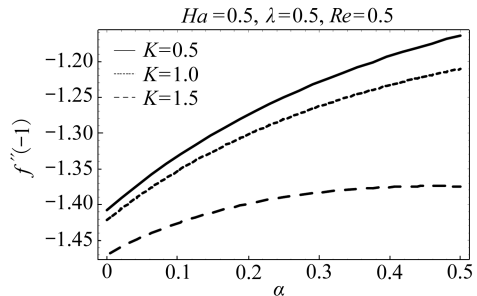


图 16 参数 K 取不同值时, $f''(-1)$ 随 α 的变化

Fig. 16 $f''(-1)$ plotted against α for different values of the parameter K

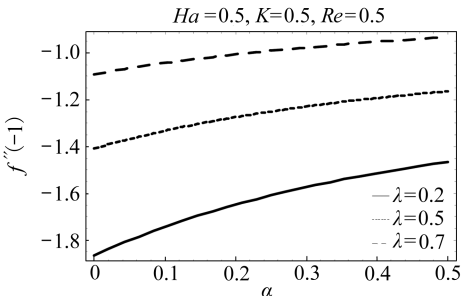


图 17 参数 λ 取不同值时, $f''(-1)$ 随 α 的变化

Fig. 17 $f''(-1)$ plotted against α for different values of the parameter λ

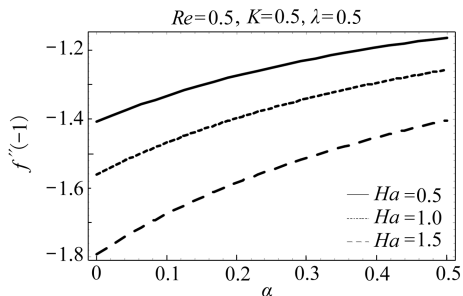


图 18 参数 Ha 取不同值时, $f''(-1)$ 随 α 的变化

Fig. 18 $f''(-1)$ plotted against α for different values of the parameter Ha

加,速度分量 $g(\eta)$ 在上升(见图 12 和图 13). 随着 K 值的增加,管道中速度分量 $g(\eta)$ 在上升,且在下层伸展平板附近达到最大值,如图 14 所示. 随着 α 值的增加,图 15 绘出了速度分量 $g(\eta)$ 相似的变化.

图 16~18 绘出了下面平板的剪应力,随着二阶参数 α 而变化的曲线图形. 可以看到,随着二阶参数 α 的增加,伸展平板的剪应力在减小. 进一步由图 16 可以看出,随着旋转参数的增

存在,是由于旋转现象的存在. 进一步可以从图 9 观察到,旋转速度的增加,管道中出现反向的流动. 这是因为对于大的 K 值,产生与压力梯度相反的 Coriolis 力,导致流向的改变. 此外,管道中的旋转,在平板附近达到顶峰,在平板附近出现边界层. 图 10 给出了吸入参数 λ 对 $f'(\eta)$ 的影响. 吸入参数有助于剪应力的控制,很显然,随着上层板处吸入参数的增加,速度分布曲线在上升. 图 11 给出了 λ 对速度分量 $g(\eta)$ 的影响. 图 11 表明,壁面没有吸入功能时,管道中速度发生振荡,但是随着 λ 值的增加,旋转的影响在下降,管道中呈现完全发展的流动. Ha 和 Reynolds 数 Re 对速度分量 $g(\eta)$ 的影响类似. 随着 Ha 和 Re 的增

加,平板上的剪应力在增加;但是随着吸入参数的增加,上面平板处的剪应力在减小,如图 17 所示。在图 18 中观察到磁场的类似影响。

4 结 论

本文在一个旋转坐标系中,研究二阶流体的三维管道流动。应用同伦分析法,得到非线性耦合系统的级数解。表 1 显示出解的收敛性。知道随着参数 α 和 Re 的增加,造成伸展平板附近速度的增加,从而使平板受到很强粘滞力的拽拉。由于存在旋转现象,管道中速度出现振荡,对大的 K 值,出现反向的流动。然而,随着 λ 值的增加,形成充分发展的流动。

参考文献(References) :

- [1] Crane L J. Flow past a stretching sheet[J]. *Zeitschrift für Angewandte Mathematik und Physik*, 1970, **21**(4): 645-647.
- [2] Gupta P S, Gupta A S. Heat and mass transfer on a stretching sheet with suction or blowing [J]. *The Canadian Journal of Chemical Engineering*, 1977, **55**(6): 744-746.
- [3] Chen C K, Char M I. Heat transfer of a continuous stretching surface with suction or blowing [J]. *Journal of Mathematical Analysis and Applications*, 1988, **135**(2): 568-580.
- [4] Grubka L J, Bobba K M. Heat transfer characteristics of a continuous stretching surface with variable temperature[J]. *ASME Journal of Heat Transfer*, 1985, **107**(1): 248-250.
- [5] Chiam T C. Magnetohydrodynamic heat transfer over a non-isothermal stretching sheet[J]. *Acta Mechanica*, 1997, **122**(1/4): 169-179.
- [6] Chakrabarti A, Gupta A S. Hydromagnetic flow and heat transfer over a stretching sheet[J]. *Quarterly of Applied Mathematics*, 1979, **37**(1): 73-78.
- [7] Ali M E. Heat transfer characteristics of a continuous stretching surface [J]. *Wärme-und Stoffübertragung*, 1994, **29**(4): 227-234.
- [8] Dutta B K. Heat transfer from stretching sheet with uniform suction and blowing[J]. *Acta Mechanica*, 1989, **78**(3/4): 255-262.
- [9] Hassanien I A, Gorla R S R. Heat transfer to micropolar fluid from a non-isothermal stretching sheet with suction and blowing[J]. *Acta Mechanica*, 1990, **84**(1/4): 191-199.
- [10] Elbashbeshy E M A. Heat transfer over a stretching surface with variable surface heat flux [J]. *Journal of Physics D: Applied Physics*, 1998, **31**(16): 1951-1954.
- [11] Xu Q W, Bao W M, Mao R L, Yang G L, Pop I, Na T Y. Unsteady flow past a stretching sheet[J]. *Mechanics Research Communications*, 1996, **23**(4): 413-422.
- [12] Mehmood A, Ali A. Takhar H S, Shah T. Corrigendum to: “Unsteady three dimensional MHD boundary layer flow due to the impulsive motion of a stretching surface (*Acta Mechanica*, 146 (1), 59-71 (2001))” [J]. *Acta Mechanica*, 2008, **199**(1/4): 241-249.
- [13] Mehmood A, Ali A, Shah T. Heat transfer analysis of unsteady boundary layer flow by homotopy analysis method[J]. *Communications in Non-Linear Science and Numerical Simulation*, 2008, **13**(5): 902-912.
- [14] Devi C D S, Thakhar H S, Nath G. Unsteady three dimensional boundary layer flow due to a stretching surface[J]. *International Journal of Heat Mass Transfer*, 1986, **29**(12): 1996-1999.
- [15] Elbashbeshy E M A, Bazid M A A. Heat transfer in a porous medium over a stretching surface with internal heat generation and suction or injection[J]. *Applied Mathematics and Computation*

- tation, 2004, **158**(3) : 799-807.
- [16] Troy W C, Overman E A, Ermentrout G B, Keener J P. Uniqueness of flow of a second-order fluid past a stretching sheet[J]. *Quarterly of Applied Mathematics*, 1987, **44**(4) : 753-755.
- [17] Rao B N. Flow of a fluid of second grade over a stretching sheet[J]. *International Journal of Non-Linear Mechanics*, 1996, **31**(4) : 547-550.
- [18] Chang W D, Kazarinoff N D, Lu C. A new family of explicit solutions for the similarity equations modelling flow of a non-Newtonian fluid over a stretching sheet[J]. *Archive for Rational Mechanics and Analysis*, 1991, **113**(2) : 191-195.
- [19] Pontrelli G. Flow of a fluid of second grade over a stretching sheet[J]. *International Journal of Non-Linear Mechanics*, 1995, **30**(3) : 287-293.
- [20] Mehmood A, Ali A. An explicit analytic solution of steady three-dimensional stagnation point flow of second grade fluid toward a heated plate[J]. *ASME Journal of Applied Mechanics*, 2008, **75**(6) : 061003.
- [21] Ariel P D. A numerical algorithm for computing the stagnation point flow of a second grade fluid with/without suction[J]. *Journal of Computational and Applied Mathematics*, 1995, **59**(1) : 9-24.
- [22] Vajravelu K, Roper T. Flow and heat transfer in a second grade fluid over a stretching sheet [J]. *International Journal of Non-Linear Mechanics*, 1999, **34**(6) : 1031-1036.
- [23] Baris S, Dokuz M S. Three dimensional stagnation point flow of a second grade fluid towards a moving plate[J]. *International Journal of Engineering Science*, 2006, **44**(1/2) : 49-58.
- [24] Ferrario C, Passerini A, Thater G. Generalization of the Lorenz model to the two dimensional convection of second grade fluid[J]. *International Journal of Non-Linear Mechanics*, 2004, **39**(4) : 581-591.
- [25] Xu H, Liao S J. Series solutions of unsteady Magnetohydrodynamics flows of non-Newtonian fluids caused by an impulsively stretching plate [J]. *Journal of Non-Newtonian Fluid Mechanics*, 2005, **129**(1) : 46-55.
- [26] Huilgol R R, Keller H B. Flow of viscoelastic fluids between rotating disks: part I[J]. *Journal of Non-Newtonian Fluid Mechanics*, 1985, **18**(1) : 101-110.
- [27] Huilgol R R, Rajagopal K R. Non-axisymmetric flow of a viscoelastic fluid between rotating disks[J]. *Journal of Non-Newtonian Fluid Mechanics*, 1987, **23** : 423-434.
- [28] Vajravelu K. Analytical and numerical solutions of a coupled non-linear system arising in a three-dimensional rotating flow[J]. *International Journal of Non-Linear Mechanics*, 2004, **39**(1) : 13-24.
- [29] Liao S J. *Beyond Perturbation: Introduction to the Homotopy Analysis Methods*[M]. Boca Raton: Chapman & Hall/CRC Press, 2003.
- [30] Hilton P H. *An Introduction to Homotopy Theory*[M]. Cambridge: Cambridge University Press, 1953.
- [31] Sen S. *Topology and Geometry for Physicists*[M]. Florida: Academic Press, 1983.
- [32] Yang C, Liao S J. On the explicit, purely analytic solution of von Karman swirling viscous flow[J]. *Communications in Non-Linear Science and Numerical Simulation*, 2006, **11**(1) : 83-93.
- [33] Abbasbandy S. Homotopy analysis method for heat radiation equations[J]. *International Communications in Heat and Mass Transfer*, 2007, **34**(3) : 380-387.
- [34] Ziabaksh Z, Domairy G. Solution of the laminar viscous flow in a semi-porous channel in the

- presence of uniform magnetic field by using the homotopy analysis method [J]. *Communications in Non-Linear Science and Numerical Simulation*, 2009, **14**(4) : 1284-1294.
- [35] Liao S J. A uniformly valid analytic solution of 2D viscous flow past a semi infinite flat plate [J]. *Journal of Fluid Mechanics*, 1999, **385**: 101-128.
- [36] Liao S J, Cheung K F. Homotopy analysis of nonlinear progressive waves in deep water [J]. *Journal of Engineering Mathematics*, 2003, **45**(2) : 105-116.
- [37] Xu H, Liao S J. An explicit analytic solution for convective heat transfer in an electrically conducting fluid at a stretching surface with uniform free stream [J]. *International Journal of Engineering Science*, 2005, **43**(10) : 859-874.
- [38] Liao S J. On the analytic solution of magnetohydrodynamic flow of non-Newtonian fluids over a stretching sheet [J]. *Journal of Fluid Mechanics*, 2003, **488**: 189-212.
- [39] Mehmood A, Ali A. Analytic solution of generalized three-dimensional flow and heat transfer over a stretching plane wall [J]. *International Communications Heat and Mass Transfer*, 2006, **33**(10) : 1243-1252.
- [40] Mehmood A, Ali, A. Analytic solution of three-dimensional viscous flow and heat transfer over a stretching flat surface by homotopy analysis method [J]. *ASME-Journal of Heat Transfer*, 2008, **130**(12) : 121701.
- [41] Liao S J. On the homotopy analysis method for nonlinear problems [J]. *Applied Mathematics and Computation*, 2004, **147**(2) : 499-513.
- [42] Liao S J. An approximate solution technique which does not depend upon small parameters—part 2: an application in fluid mechanics [J]. *International Journal of Non-Linear Mechanics*, 1997, **32**(5) : 815-822.
- [43] Shercliff J A. *A Textbook of Magnetohydrodynamics* [M]. Oxford: Pergamon Press, 1965.
- [44] Rivlin R S, Erickson J L. Stress deformation relations for isotropic matherials [J]. *Journal of Rational Mechanics and Analysis*, 1955, **4**(5) : 681-702.

Three Dimensional Channel Flow of Second Grade Fluid in a Rotating Frame

Saira Hussnain¹, Ahmer Mehmood², Asif Ali¹

- (1. Department of Mathematics, Quaid-i-Azam University, Islamabad, Pakistan;
 2. Department of Mathematics, International Islamic University, Islamabad, Pakistan)

Abstract: An analysis was performed for hydromagnetic second grade fluid flow between two horizontal plates in a rotating system in the presence of magnetic field. The lower sheet was considered to be a stretching sheet and the upper was a porous solid plate. By using suitable transformations the equations of conservation of mass and momentum were reduced to a system of coupled non-linear ordinary differential equations. Series solution of this coupled non-linear system was obtained by using the most powerful analytic technique Homotopy analysis method. The results were presented through graphs and the effects of non-dimensional parameters Re , λ , Ha^2 , α and K^2 on the velocity field were discussed in details.

Key words: three dimensional flow; second grade fluid; stretching sheet; channel flow; rotating frame